

Иванов А.В., Гордменко Ю.Н.

КОЛЕБАНИЯ РОТОРОВ АГРЕГАТОВ ПОДАЧИ С ПОДВИЖНЫМИ  
УПЛОТНИТЕЛЬНЫМИ КОЛЬЦАМИ

В высоконапорных агрегатах подачи для уменьшения объемных потерь перекачиваемой жидкости широко используются щелевые уплотнения с подвижными кольцами. Жесткостные и демпфирующие характеристики таких уплотнений оказывают существенное влияние на колебания ротора. Упруго-инерционная система ротора АП с учетом взаимодействия с подвижными уплотнительными кольцами становится существенно нелинейной.

В докладе излагается методика расчета вынужденных колебаний роторов АП с подвижными уплотнительными кольцами. Даны примеры расчета, отражающие характерные особенности влияния уплотнительных колец на амплитудно-частотные характеристики вынужденных колебаний роторов.

## Колебания роторов агрегатов подачи с плавающими уплотнительными кольцами

Подвижные уплотнительные кольца (плавающие кольца) широко применяются в агрегатах подачи (АП) для уменьшения объемных потерь перекачиваемой жидкости. При больших перепадах давления рабочей жидкости плавающие кольца превращаются в дополнительные опоры с нелинейными жесткостными и демпфирующими характеристиками, оказывающие существенное влияние на виброхарактеристики роторов АП. В данном докладе излагается разработанная на кафедре 203 МАИ методика расчета на ЭВМ вынужденных колебаний роторов АП с плавающими кольцами.

На рис. 1 показана схема щелевого уплотнения с плавающим кольцом. Плавающее кольцо I разделяет две заполненные рабочей жидкостью полости: полость 2 высокого давления и полость 3 низкого давления с перепадом давлений  $\Delta P$ , прижимающим плавающее кольцо по торцу к корпусу 4. Между кольцом I и валом 5 ротора имеется щелевой канал. Кольцо может совершать относительно корпуса только поступательные перемещения. Вращение кольца предотвращается с помощью специальных фиксаторов (на схеме не показаны).

На жесткостные и демпфирующие характеристики плавающего кольца оказывают влияние следующие параметры:

- $\omega$  - частота вращения ротора,
- $\Delta P$  - перепад давления рабочей жидкости,
- $l$  - длина плавающего кольца,
- $\delta$  - радиальный зазор между кольцом и валом,
- $h$  - толщина кольца, находящаяся под действием перепада давлений  $\Delta P$ ,
- $r$  - радиус вала,
- $M$  - коэффициент трения кольца о корпус,
- $\lambda$  - коэффициент трения, характеризующий сопротивление щелевого канала перетеканию рабочей жидкости,
- $\xi_{вх}$ ,  $\xi_{вых}$  - коэффициенты потерь давления на входе и на выходе щелевого канала.

Мы ограничимся рассмотрением достаточно узких и длинных щелевых уплотнений, в которых потери давления на трение значительно превышают потери давления на входе и на выходе, т.е. выполняется условие

$$\frac{\lambda l}{2\delta} \gg \xi_{вх} + \xi_{вых} \quad ( I )$$

Далее считаем, что радиус вала значительно превышает толщину кольца  $h$  и радиальный зазор  $\delta$ , т.е.

$$z \gg h; \quad z \gg \delta \quad (2)$$

Будем полагать, что перепад давлений на уплотнении изменяется прямо пропорционально квадрату частоты вращения ротора, т.е.

$$\Delta P = \Delta P_0 \left( \frac{\omega}{\omega_0} \right)^2 \quad (3)$$

При рассмотрении сил, действующих на кольцо, учитываем силу трения по торцу кольца и гидродинамическую силу, связанную с перепадом давления  $\Delta P$  и осевым течением рабочей жидкости. Эффектом вращения вала и силой инерции кольца пренебрегаем.

Взаимное смещение ротора и кольца приводит к появлению гидродинамических сил взаимодействия, стремящихся восстановить их соосное положение. На рис. 2 показана сила  $F$ , действующая на ротор, при смещении ротора по отношению к кольцу, характеризуем вектором  $U$ .

При сделанных выше допущениях эта сила может быть выражена следующей формулой [1]:

$$F = - \frac{\pi z}{\lambda} \Delta P \cdot U \quad (4)$$

Такая же сила, но в противоположном направлении, действует на кольцо. Если сила  $F$  не превышает по модулю силы трения кольца о корпус

$$F_{тр} = 2\pi h z \mu \Delta P, \quad (5)$$

то кольцо остается неподвижным по отношению к корпусу. Условие неподвижности кольца

$$|F| < F_{тр}$$

на основании (4) и (5) может быть представлено в виде

$$S \leq A, \quad (6)$$

где  $S = |U|$  - модуль смещения ротора,  $A$  - предельное взаимное смещение ротора и кольца, выражаемое формулой

$$A = 2\mu\lambda h. \quad (7)$$

В случае автомодельного режима течения жидкости ( $\lambda = 0,04 \div 0,05 = \text{const}$ ) величина  $A$  является постоянной для всех частот вращения ротора и определяется только коэффициентом трения  $\mu$  кольца о корпус и толщиной кольца  $h$ :

$$A = (0,08 \div 0,10) \mu h. \quad (8)$$

Во избежание прямого касания ротора и плавающего кольца необходимо следить за тем, чтобы выполнялось условие

$$A < \delta, \quad (9)$$

которое в случае автомодельного режима течения принимает вид

$$(0,08 \div 0,10) \mu k < \delta,$$

( 10 )

легко поддающийся проверке.

Если условие неподвижности плавающего кольца нарушается, то кольцо начинает двигаться, совершая круговую прецессию, синхронную с вращением вала (рис.3). В этом случае сила  $F$ , действующая на ротор со стороны плавающего кольца, равна силе  $F_{mp}$  трения кольца о корпус. Относительное смещение ротора и кольца равно  $A$ . Векторы  $U_k$ -смещения кольца,  $A$ -смещения ротора относительно кольца и  $U$ -абсолютного смещения ротора образуют прямоугольный треугольник. Угол  $\varphi$  между векторами  $U_k$  и  $U$  определяется из соотношений

$$\frac{\sin \varphi}{\cos \varphi} = \frac{1}{\bar{\rho}}, \quad \frac{\cos \varphi}{\sin \varphi} = \sqrt{1 - \frac{1}{\bar{\rho}^2}}, \quad ( 11 )$$

где  $\bar{\rho}$  - безразмерное смещение ротора

$$\bar{\rho} = \frac{\rho}{A}.$$

В системе координат  $\zeta \xi$ , вращающейся вместе с ротором, проекции силы  $F$  на оси  $\zeta$  и  $\xi$  образуют радиальную  $R$  и тангенциальную  $T$  составляющие. В общем случае, охватывающем как случай подвижного кольца, так и случай неподвижного кольца, эти составляющие выражаются следующими формулами:

$$R = F_{\zeta} = -F_{mp} \bar{R}, \quad T = F_{\xi} = -F_{mp} \bar{T}, \quad ( 12 )$$

где  $\bar{R}$  и  $\bar{T}$  - функции безразмерного смещения  $\bar{\rho}$ :

$$\bar{R} = \begin{cases} \bar{\rho} & \text{при } \bar{\rho} < 1 \text{ (неподвижное кольцо),} \\ \bar{\rho}^{-1} & \text{при } \bar{\rho} \geq 1 \text{ (подвижное кольцо).} \end{cases}$$

$$\bar{T} = \begin{cases} 0 & \text{при } \bar{\rho} < 1 \text{ (неподвижное кольцо),} \\ \sqrt{1 - (\bar{\rho})^{-2}} & \text{при } \bar{\rho} \geq 1 \text{ (подвижное кольцо).} \end{cases} \quad ( 13 )$$

Графики изменения функций  $\bar{R}(\bar{\rho})$  и  $\bar{T}(\bar{\rho})$  представлены на рис.4. Как видим до значения  $\bar{\rho} = 1$  сила  $F$  имеет только радиальную составляющую, изменяющуюся пропорционально смещению ротора. Кольцо при этом неподвижно. Щелевое уплотнение на этом участке можно рассматривать как дополнительную жесткость. При  $\bar{\rho} = 1$  радиальная составляющая достигает максимального значения, равного силе трения. При дальнейшем росте  $\bar{\rho}$  радиальная составляющая начинает убывать по гиперболе, стремясь к 0. Тангенциальная составляющая при этом возрастает и в пределе достигает максимального значения, равного силе трения кольца о корпус. Щелевое уплотнение с ростом  $\bar{\rho}$  приближается по своим характеристикам к демпферу сухого трения,

Переходя от подвижных координат  $\zeta \xi$  к подвижным координатам  $y z$ , в которых смещение ротора  $U$  задано проекциями  $U_y$  и  $U_z$ , получим следующее выражение для проекций  $F_y$  и  $F_z$  силы  $F$ :

$$\begin{bmatrix} F_y \\ F_z \end{bmatrix} = - \frac{F_m}{\bar{\rho} A} \begin{bmatrix} \bar{R} & -\bar{T} \\ \bar{T} & \bar{R} \end{bmatrix} \begin{bmatrix} U_y \\ U_z \end{bmatrix}. \quad ( 14 )$$

Располагая формулами, описывающими нелинейные реакции щелевых уплотнений на перемещения ротора, можно записать уравнение вынужденных колебаний ротора АП, расчетная схема которого представлена на рис.5. В матричном виде это уравнение имеет вид

$$U = B(H + GU), \quad (15)$$

где  $U$  - столбец перемещений расчетных сечений ротора,  $H$  - столбец, сил неуравновешенности,  $B$  - матрица динамической податливости свободного ротора,  $G$  - матрица, с помощью которой выражаются реакции опор и щелевых уплотнений через перемещения ротора:

$$U = [U_1, U_2, \dots, U_n]^T; \quad H = [H_1, H_2, \dots, H_n]^T; \quad U_i = \begin{bmatrix} U_y \\ U_z \end{bmatrix}; \quad H_i = \begin{bmatrix} l_{y_i} \\ l_{z_i} \end{bmatrix} m_i \omega^2;$$

$$G = \text{diag} (G_1, G_2, \dots, G_n);$$

$$G_i = -C_i^{on} \begin{bmatrix} 1 & -\frac{\psi}{2\pi} \\ \frac{\psi}{2\pi} & 1 \end{bmatrix} - C_{i0}^{yn} \left(\frac{\omega}{\omega_0}\right)^2 \frac{1}{\delta} \begin{bmatrix} \bar{R} & -\bar{T} \\ \bar{T} & \bar{R} \end{bmatrix},$$

где  $l_{y_i}$ ,  $l_{z_i}$  - проекции эксцентриситета массы  $m_i$ , расположенной в  $i$ -ом сечении ротора, на оси  $y$  и  $z$ ;  $C_i^{on}$ ,  $\psi$  - жесткость и коэффициент поглощения упруго-демпферной опоры, расположенной в  $i$ -ом сечении;  $C_{i0}^{yn}$  - жесткость щелевого уплотнения в  $i$ -ом сечении при частоте вращения  $\omega_0$  на начальном линейном участке упругой характеристики щелевого уплотнения  $C_{i0}^{yn} = \frac{\pi \gamma}{\lambda} \Delta P_0$ .

Решения нелинейного уравнения (15), описывающие для заданной частоты вращения прогибы неуравновешенного ротора во вращающейся системе координат, отыскиваются итерационным методом Ньютона [2].

В качестве примера по предложенной методике были произведены расчеты на ЭВМ вынужденных колебаний симметричного одномассового ротора рис.6. Результаты расчетов показаны на рис.7 и 8. Используются безразмерные параметры  $\bar{U} = \frac{U}{e}$ ,  $\bar{\omega} = \frac{\omega}{\omega_0}$ ,  $\bar{A} = \frac{A}{e}$ ,  $\bar{C} = \frac{C^{yn}}{C_m^{yn}}$  где  $e$  - эксцентриситет массы  $m$  ротора,  $\omega_0 = \sqrt{\frac{C_m^{yn}}{m}}$  - критическая частота вращения ротора при отсутствии плавающих колец. Коэффициент  $\psi$  поглощения опор был взят равным  $0,4\pi$ .

На рис. 7 представлены амплитудно-частотные характеристики (АЧХ), рассчитанные для различных соотношений  $\bar{C}$  жесткости уплотнений и опор при выполнении условия неподвижности колец ( $\bar{U} < \bar{A}$ ). Видно существенное влияние жесткости уплотнений на критические частоты вращения ротора. При  $\bar{C} = 0,36$  повышение критической частоты составляет 25%.

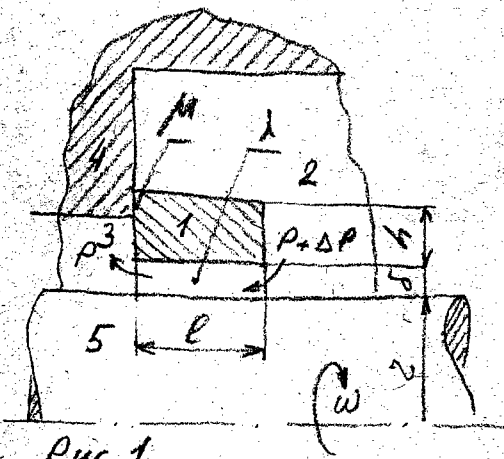
На рис.8 представлены АЧХ ротора для варианта с относительной жесткостью уплотнений  $\bar{C} = 0,36$ . Показано влияние на АЧХ безразмерного предельного смещения  $\bar{A}$  ротора и кольца. Значения параметра варьировались от  $\infty$  до 7,8 - в диапазоне, где для рассматриваемого варианта нарушалось условие неподвижности кольца. Случай  $\bar{A} = \infty$  соответствует абсолютной подвижности уплотнительных колец (отсутствию трения по торцевой поверхности кольца). Для значений  $\bar{A} \geq 7,8$  кольцо сохраняет неподвижность во всем диапазоне частот вращения ротора. Для промежу-

точных значений  $\bar{A}$  (0,5; 1; 2; 4) кольца на одних участках АЧХ неподвижны, на других подвижны в зависимости от силы трения на торцевой поверхности колец и силы, передаваемой через кольца на корпус. Участки, на которых кольца подвижны, отмечены на рис.8 штриховой линией. Как видим для исследованного варианта ротора минимальный коэффициент динамичности достигается для  $\bar{A} = 2$ .

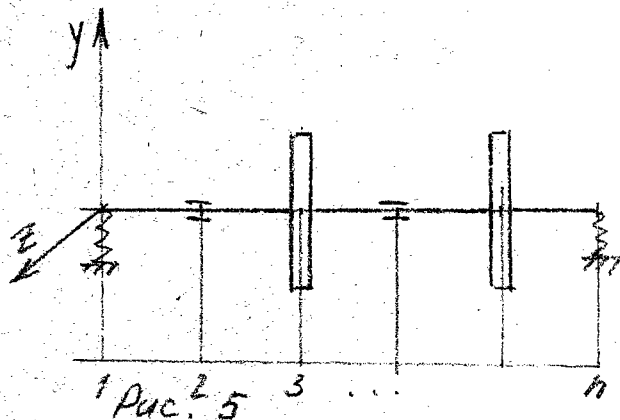
Знание подобных соотношений может оказаться полезным в тех случаях, когда при подборе параметров плавающего кольца необходимо учитывать не только соображения экономичности, но и влияние колец на динамику ротора.

#### Литература:

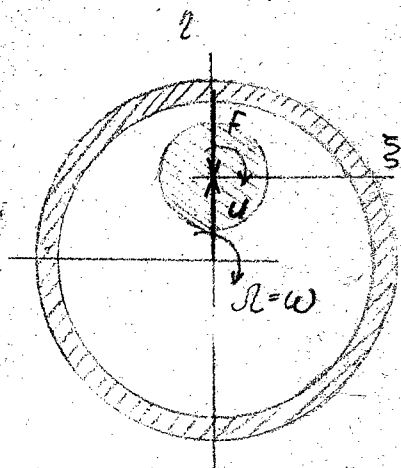
1. Рудис М.А. Некоторые вопросы динамики роторов турбомашин. - В сб. Прочность и динамика авиационных двигателей, выпуск 2. М.: Машиностроение, 1965.
2. Бахвалов Н.С. Численные методы. М.: Наука, 1975.



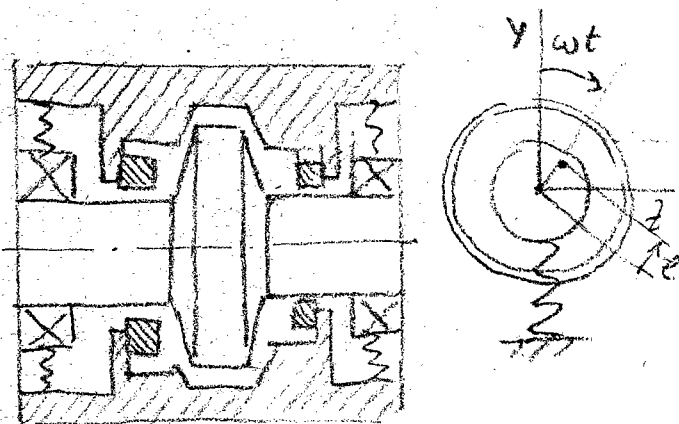
Puc 1



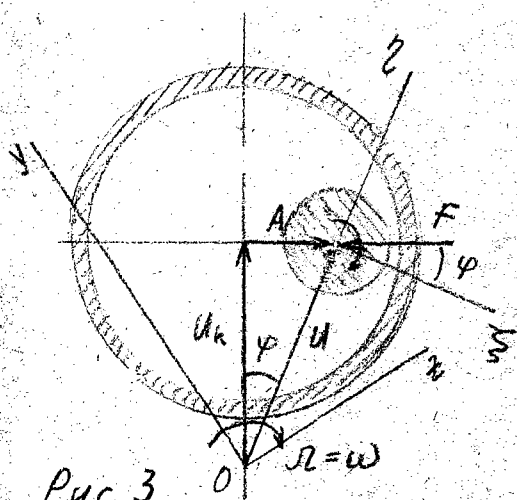
1 Puc. 2 5 3 ... n



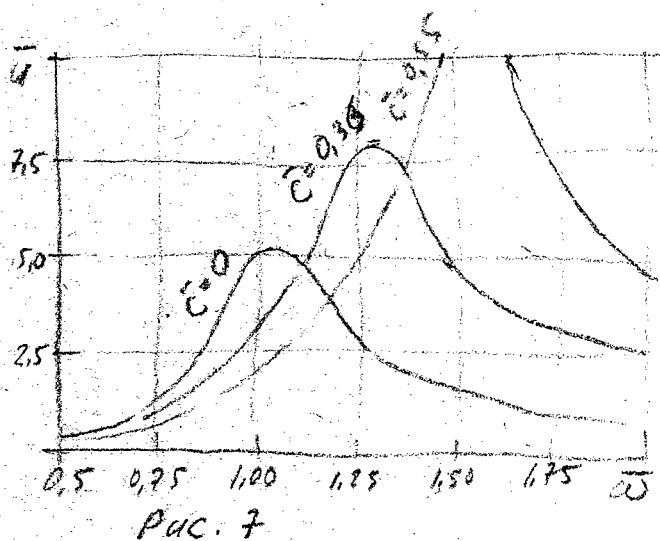
Puc 2



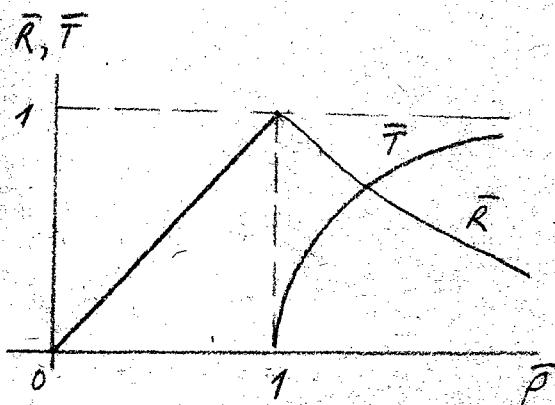
Puc. 6



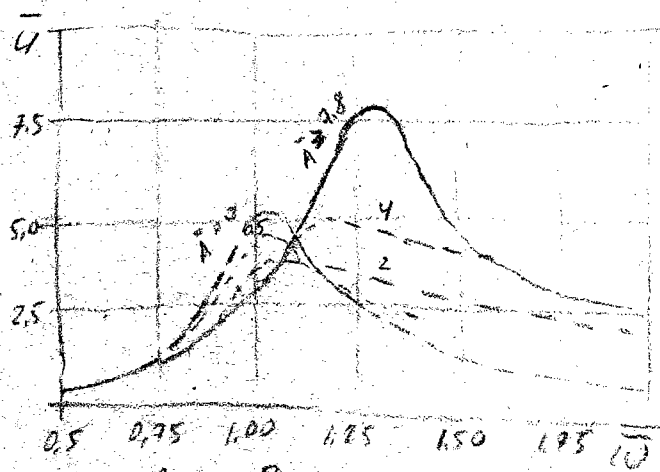
Puc. 3



Puc. 7



Puc. 4



Puc. 8